

# بررسی آزمایشگاهی تشکیل رسوب سولفات استرانسیم در سیستم‌های تزریق مخلوط آب دریا و آب تولیدی مخزن در یکی از مخازن کربناهه و مطابقت آن با مدل ژاکس

حبيب غلامیان پور<sup>\*</sup>، عmad رعایایی و محمدعلی عمامدی

پژوهشکده ازدیاد برداشت از مخازن نفت و گاز، تهران، ایران

تاریخ دریافت: ۹۳/۱۱/۶ تاریخ پذیرش: ۹۴/۶/۱۸

## چکیده

هر گاه در میادین نفتی دریابی از مخلوط آب دریا و آب تولیدی برای فشارافزایی مخزن و یا افزایش ضریب بازیافت نفت استفاده می‌شود، تمہیدات لازم برای کنترل تشکیل رسوب‌های معدنی نیز باید در نظر گرفته شود. در صورت ناسازگاری بین آب تزریقی و آب تولیدی، مشکلاتی مانند تخریب سازند و گرفتگی لوله‌های مفرزی چاهها و خطوط انتقال اجتناب‌ناپذیر خواهند بود. در این تحقیق تشکیل رسوب سولفات استرانسیم در مخلوط آب تولیدی چاه و آب دریا به نسبت‌های مختلف در شرایط دمایی یکی از مخزن‌های جنوب کشور بررسی شده است. نتایج نشان میدهد که هر چه نسبت آب تولیدی به آب دریا بیشتر باشد، تشکیل رسوب شدت می‌یابد. در شرایط اختلاط ۶۰ درصد آب دریا و ۴۰ درصد آب تولیدی، تشکیل سولفات استرانسیم حداکثر است. محاسبات حاصل از مدل ژاکس برای پیش‌بینی مقدار و نوع رسوب تطابق خوبی با نتایج گزارش شده میدانی نشان می‌دهد. مقدار رسوب در فرآیند تزریق آب تابعی از نسبت اختلاط آب‌هاست.

**کلمات کلیدی:** ناسازگاری، تخریب سازند، تزریق آب، سولفات استرانسیم، مدل ژاکس.

دبی تولید نفت را به دنبال خواهد داشت<sup>[۱]</sup> و <sup>[۲]</sup>. قابل ذکر است که رسوب به خاطر تهشیین املاح کم محلول آب، تشکیل می‌شود. دما و pH دو متغیر اصلی در حلایت نمک‌ها هستند. البته عوامل زیادی بر کیفیت و کمیت رسوب تاثیر دارند از جمله: الف- جنس سطح- جنس سطح در کمیت و در کیفیت رسوب، به ویژه از نظر چسبندگی، موثر می‌باشد.

## مقدمه

در بررسی فرآیند تزریق آب، یکی از نکات مهمی که باید در نظر داشت سازگاری<sup>۱</sup> آب سازند و آب تزریقی<sup>۲</sup> است. اگر آب سازند و آب تزریقی ناسازگار باشند، در مسیر تزریق و یا در مخزن، تولید رسوب می‌کنند که باعث گرفتگی محیط متخلخل سنگ مخزن می‌شود. این پدیده کاهش تزریق و حتی کاهش

1. Compatibility  
2. Injection Water

\*مسئول مکاتبات  
h.gholamianpour@nioc.ir

آدرس الکترونیکی

زمینه تجانس آب‌ها، آزمایش‌ها و مطالعات زیادی در شرایط و مخازن مختلف انجام و برای محاسبه مقدار حلالیت رسوبات ناشی از اختلاط دو یا چند نمونه آب مدل‌هایی مختلف ارایه شده‌اند. موقعی که آب تزریقی با آب سازند ناسازگار باشد، باید بر روی آب تزریقی عملیات آماده‌سازی انجام شود.<sup>[۷-۵]</sup>

آب برای حفظ فشار مخزن و یا بازگردانی پساب‌های حاصل از فضولات نمک‌زدایی به بخش آبده مخزن<sup>۲</sup> به مخازن هیدروکربوری تزریق می‌شود. به صورت ایده‌آل آب تزریقی به مخزن باید فاقد هر گونه ذرات معلق و فیلم نفت و سازگار با آب مخزن باشد تا رسوب‌های معدنی در سنگ مخزن تشکیل نشوند و نفوذپذیری و یا تزریق‌پذیری سنگ مخزن کاهش نیابد. مطالعه یون‌های مزاحم، تعیین احتمال رسوب‌گذاری و همچنین نحوه جلوگیری و کاهش مقدار رسوب و امکان تزریق آب با شدت جریان بالا و در نتیجه حفظ فشار مخزن، افزایش بازیافت نهایی نفت را تضمین می‌کند.<sup>[۸-۹]</sup>

در سال ۱۹۹۵ میلادی، زو<sup>۳</sup> و همکارانش با یک مدل کامپیوترا مقدار رسوب سولفات را پیش‌بینی کردند و راه کارهایی را برای جلوگیری از تشکیل رسوب ارایه دادند که از جمله استفاده از آب‌هایی با سولفات کم بود.<sup>[۱۰-۱۲]</sup> در ادامه وتر<sup>۴</sup> و همکارانش مقدار رسوب در فرآیند تزریق آب را تابعی از نسبت اختلاط آب‌ها، تجزیه دو آب و دما و فشار در هر نقطه از مخزن دانستند. آنها بر اهمیت مسئله تجانس آب تزریقی و آب مخزن تأکید داشتند.<sup>[۱۳]</sup> طی مطالعاتی در سال ۲۰۱۰ در میدانی دارای مشکل رسوب سولفات استرانسیم در تجهیزات ته‌چاهی و مشکل کم‌اهمیت‌تر کلسیم سولفات در این تجهیزات، تشکیل رسوب با استفاده از یک مدل شیمی شبیه‌ساز رسوب و با دخالت اثر اختلاط آب‌ها (با توجه به داده آنالیز آب‌ها) در دمایها و فشارهای گوناگون پیش‌بینی شد.

ناهمواری سطح باعث می‌شود که چسبندگی رسوب بیشتر شود. به طور کلی چسبندگی رسوب به نوع رسوب و جنس سطح جامد بستگی دارد. ب- pH و قلیاییت آب: با توجه به آن که اولاً در pH های مختلف جنس رسوب می‌تواند فرق کند و ثانیاً حلالیت برخی نمک‌ها به pH بستگی دارد، می‌توان انتظار داشت که pH نقش کلیدی در کیفیت و در کمیت رسوب داشته باشد.

ج- ترکیبات آب: کلراید و سولفات باعث افزایش خوردگی آب می‌شوند، از این رو نسبت مجموع غلظت کلراید و سولفات به غلظت قلیاییت شاخص خوردگی آب در نظر گرفته می‌شود.

د- زمان و سرعت ترسیب: هر چه سرعت ترسیب کندر باشد، رسوب تولید شده غیرمتخلخل تر و سفت‌تر خواهد بود. علاوه بر آن، گذشت زمان چسبندگی سطح و رسوب را افزایش خواهد داد.

ه- تاثیر عوامل هیدرودینامیکی: حرکت سیال بر کیفیت رسوب اثر می‌گذارد و در سیستم‌هایی که آب در گردش است، رسوب کربنات ایجادشده سفت و سخت است، ولی در آب‌های ساکن کربنات‌های کربنات کلسیم نرم و غیرچسبنده می‌شوند.<sup>[۳-۴]</sup> تقریباً در همه مخازن نفتی، آب جزء لاینفک سیستم است و همواره مقداری آب همراه نفت خام تولیدی از چاه نفت خارج می‌شود. آسیب‌دیدگی سازند<sup>۱</sup> یکی از فرآیندهای ایجادشده از حرکت سیال نفت یا گاز و یا آب درون سازند است. هنگامی که سیالات در حالت غیرتعادلی قرار می‌گیرند و یا در حالت تعادل با سرعت زیاد درون مخزن جابه‌جا می‌شوند و یا ذرات جامد به همراه آنها وارد مخزن می‌شوند، احتمال آسیب‌دیدگی سازند افزایش می‌یابد. با حرکت آب در مخزن، دمای آن افزایش می‌یابد و مقدار حلالیت مواد حل شده در آب نیز تغییر می‌کند. اگر مقدار حلالیت کاهش یابد، املاح در لوله‌های تزریق یا در سنگ مخزن رسوب می‌کنند. آب تزریقی، بحسب نوع ترکیب، می‌تواند با آب مخزن سازگار یا ناسازگار باشد. در

1. Formation Damage

2. Aquifer

3. Zhu

4. Vetter

جزء در آب‌های آسامیدنی نیز هست. مهم‌ترین منبع یون کلرید  $\text{NaCl}$  است. مقدار یون کلرید به عنوان مقدار نمک موجود در آب تعییر می‌شود.

کربنات و بی‌کربنات ( $\text{CO}_3^{2-}$  و  $\text{HCO}_3^-$ ): این یون‌ها اهمیتی بسزایی دارند، زیرا می‌توانند رسوب نامحلول تشکیل دهند.

**سولفات( $\text{SO}_4^{2-}$ ):** یون سولفات می‌تواند مشکل‌زا باشد، زیرا توانایی واکنش با کلسیم، باریم و استرانسیم را دارد و رسوب تولید می‌کند و یا تمايل شدید سولفات موجود در آب تزریقی به کلسیم موجود در سطح سنگ مخازن کربناته باعث واکنش از نوع راسب شدن می‌شود.<sup>[۱۸]</sup>

### روش کار

با توجه به این که اکثر میادین نفتی تحت تزریق آب در نیمه دوم عمر خود هستند، در نواحی از مخزن آب دریا با آب سازند مخلوط و به مرور ترکیب آب سازند دگرگون می‌شود و به همین دلیل در این تحقیق از آب تولیدی چاه، که نزدیک‌ترین ترکیب را به آب سازند دارد، استفاده شده است. در متن به آب جداشده از چاه نفتی، آب همراه نفت گفته شده است. لازم به ذکر است روش آزمایشگاهی سازگاری تجسس آب‌ها دارای استاندارد ASTM نمی‌باشد و شرایط و مدت آزمایش، با توجه به مقالات مطالعه شده و کارهای انجام شده در سال‌های اخیر در زمینه سیستم‌های سیالابزني در مخازن، بهینه شده‌اند. برای بررسی امکان تشکیل رسوب در اثر مجاورت آب تزریقی (آب دریا) و آب تولیدی (آب همراه نفت) آزمایش سازگاری آب‌ها انجام شد. در این آزمایش، ۹ لوله شیشه‌ای به ظرفیت  $100 \text{ cc}$  آماده شده را جهت بررسی سازگاری، ابتدا آب دریا و سپس آب همراه نفت جداشده را از فیلتر  $45/0$  میکرون عبور داده شد و سپس محلول‌هایی با نسبت‌های مختلف درون ویال‌های<sup>۲</sup> (ظرف شیشه‌ای درب بسته) مخصوص تهیه شده و درب آنها پلمپ می‌شود.

1. Wellhead  
2. Vial

در این مطالعات مشخص شد که رسوب استرانسیم سولفات، وقتی آب تولیدی شامل ۱۰ تا ۹۰٪ آب دریاست، می‌تواند تهذیف شود. بیشترین تمايل به تشکیل رسوب هنگامی است که نسبت آب تولیدی به آب دریا  $40/60$  باشد. این تمايل، با کاهش دما از مخزن به سمت سر چاه<sup>۱</sup>، کاهش و با کاهش فشار در همین جهت افزایش می‌یابد<sup>[۱۴-۱۵]</sup>. در ادامه کاتیون‌ها و آنیون‌های موجود در آب همراه نفت و آب دریا مرور می‌شوند.

### کاتیون‌ها

**کلسیم( $\text{Ca}^{+2}$ ):** یون کلسیم از مهم‌ترین کاتیون‌های آب در یک میدان نفتی است که به راحتی با یون‌های کربنات و سولفات ترکیب می‌شود و رسوب تولید می‌کند.

**منیزیم( $\text{Mg}^{+2}$ ):** غلظت یون منیزیم از یون کلسیم کمتر است و می‌تواند با یون کربنات ترکیب شود. ولی  $\text{MgCO}_3$  به اندازه  $\text{CaCO}_3$  مشکل‌آفرین نیست. هم‌چنین از ترکیب با یون سولفات، سولفات منیزیم تولید می‌شود که در آب محلول است و مشکلی تولید نمی‌کند.

**سدیم( $\text{Na}^{+1}$ ):** یون سدیم بیشترین مقدار را در آب میادین نفتی دارد، اما در موقع عادی مشکلی به وجود نمی‌آورد. گاهی رسوب  $\text{NaCl}$  در آب فوق العاده سور دیده می‌شود.

**باریم( $\text{Ba}^{+2}$ ):** یون باریم از مهم‌ترین اجزای زیرا در ترکیب با یون سولفات، سولفات باریم تولید می‌کند که بهشت نامحلول است. خوش‌بختانه به دلیل عدم مشاهده یون باریم در آب سازند و آب دریا، تشکیل این رسوب ممکن نیست.

**استرانسیم( $\text{Sr}^{+2}$ ):** یون استرانسیم، همانند یون باریم و کلسیم، می‌تواند با یون سولفات ترکیب و باعث تشکیل سولفات استرانسیم نامحلول شود. حلایق سولفات استرانسیم از سولفات باریم بیشتر است<sup>[۱۶-۱۷]</sup>.

### آنیون‌ها

**کلرید( $\text{Cl}^{-1}$ ):** یون کلرید تقریباً همیشه بیشترین مقدار را در آب همراه نفت دارد و عموماً بیشترین

باشد. تشکیل رسوب می‌تواند به صورت ذرات معلق در آب یا پوسته چسبیده به سطح لوله یا سطح سازند باشد و امکان گرفتگی سازند<sup>۳</sup> را به همراه دارد و اغلب باعث کم شدن جریان در تزریق آب می‌شود. رسوب‌هایی که با توجه به آنالیز آب دریا و آب تولیدی می‌توانند تشکیل شوند عبارت‌اند از: کربنات کلسیم، سولفات کلسیم و سولفات استرانسیم. در جدول ۱ عوامل موثر بر تشکیل این رسوبات با اختصار آورده شده‌اند [۲۰ و ۲۱].

#### نتایج آزمایش سازگاری

ابتدا با توجه به مشاهدات چشمی در زمان آزمایش سازگاری در دمای بالا، تمام محلول‌ها کدورت و رسوب تولید کردند. نتیجه عینی آزمایش سازگاری آب‌ها (در دمای مخزن) در جدول ۲ آورده شده است. همان‌گونه که مشاهده می‌شود، به جز نمونه‌های ۱ و ۹ که اختلاطی وجود ندارد، در بقیه نمونه‌ها رسوب تشکیل شد که مبین ناسازگار بودن آب تزریقی و آب سازند است.

ویال‌ها سی روز درون آون حرارتی با دمای  $109^{\circ}\text{C}$  قرار گرفتند. طی این مدت تغییرات ظاهری محلول‌ها از نظر شفافیت و تشکیل رسوب مشاهده و ثبت شدند و در پایان ۳۰ روز، آزمایش‌های کدورت‌سنجدی و مقدار کل ذرات معلق<sup>۱</sup> انجام شده اند. نظر به شرایط میدان نفتی مذکور (دمای و شوری مخزن)، آزمایش‌ها طوری طراحی شدند که بتوانند شرایط مخزن را به خوبی پوشش دهند [۱۹].

#### نتایج و بحث

در این تحقیق رسوب‌گذاری طی فرآیندهای گوناگون، بنا به شرایط مخزن و عملیات، رخداده است که دلایل آن عملیات تحریک چاه و تزریق آب، به علت نامتجانس بودن آب تزریقی با آب سازند، و نیز فرآیندهای دیگر مانند آزاد شدن  $\text{CO}_2$  در درون چاه، کاهش فشار و دما و یا تغییر pH در طول روند تولید رسوب‌اند. شاید مهم‌ترین دلیل برای تشکیل رسوبات معدنی، فوق‌اشباع شدن محلول‌های آبی نمکی در اثر تغییر حالت ترمودینامیکی و شیمیابی

جدول ۱ رسوبات و عوامل موثر بر تشکیل رسوب.

نام شیمیابی	فرمول	عوامل موثر بر تشکیل رسوب
کربنات کلسیم(کلسیت)	$\text{CaCO}_3$	مقدار گاز کربنیک
		pH
		درجه حرارت
		مقدار نمک‌های محلول دیگر
سولفات کلسیم(گچ انیدرید)	$\text{CaSO}_4 \cdot 2\text{H}_2\text{O}$	درجه حرارت(بعد از ۱۰۰ درجه فارنهایت)
	$\text{CaSO}_4$	مقدار نمک‌های محلول دیگر
سولفات باریم	$\text{BaSO}_4$	درجه حرارت
سولفات استرانسیم	$\text{SrSO}_4$	نمک‌های محلول دیگر

جدول ۲ مشاهدات چشمی ناشی از اختلاط آب‌ها.

Tube number	۱	۲	۳	۴	۵	۶	۷	۸	۹
آب دریا A(ml)	۱۰۰	۹۰	۷۵	۶۰	۵۰	۴۰	۲۵	۱۰	۰
آب تولیدی B(ml)	۰	۱۰	۲۵	۴۰	۵۰	۶۰	۷۵	۹۰	۱۰۰
درصد اختلاط	%۱۰۰ A	%۹۰ A	%۷۵ A	%۶۰ A	%۵۰ A	%۴۰ A	%۲۵ A	%۱۰ A	%۱۰۰ B
تولید رسوب		بله							

1. Total Suspended Solid

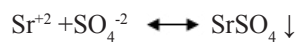
2. Formation

سولفات استرانسیم در آب با افزایش دما کاهش و با افزایش قدرت یونی افزایش می‌یابد. براساس مطالعات انجام شده، اثر فشار بر افزایش حلایت سولفات استرانسیم ناچیز است که می‌توان از آن صرف‌نظر کرد، زیرا تغییر فشار تا حدود ۲۰۰۰ psi از ته چاه تا سطح زمین باعث می‌شود که ۲-۵ mg/l فوق‌اشباعی سولفات استرانسیم در حدود pH باشد. ضمناً تاثیر تغییرات pH بر حلایت سولفات استرانسیم ناچیز است [۲۲]. در طی انجام تحقیق، چندین بار از رسوبات مختلف نمونه‌گیری شد که یکی از نمونه‌ها در شکل ۱ نمایش داده شده است. نمونه رسوب پس از توپکرانی<sup>۱</sup> از محفظه دریافت خطوط لوله انتقال سیال گرفته شده و برای آنالیز کیفی و کمی آن آزمایش پراکنش اشعه ایکس<sup>۲</sup> انجام و مشخص شد که ترکیب اصلی و عمدۀ آن سولفات استرانسیم است (شکل ۲ و جدول ۳).

این ناسازگاری می‌تواند نتیجه اختلاف غلظت جفت‌یون‌های مخالف باشد که در آب دریا و آب سازند وجود دارند.

#### سولفات استرانسیم

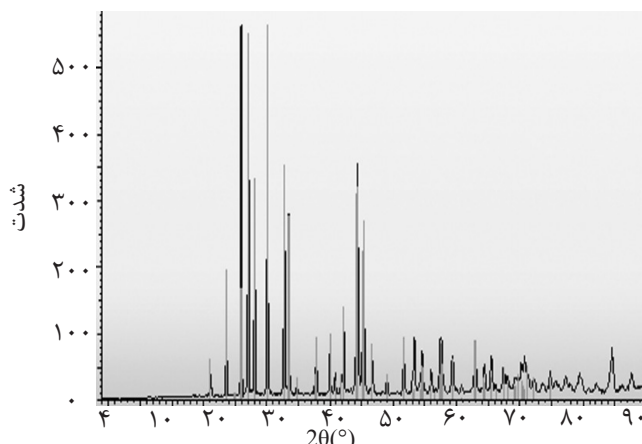
در این تحقیق، بر روی رسوب سولفات استرانسیم از خانواده سلیستین تمکز شده که در اثر واکنش یون استرانسیم با یون سولفات تشکیل می‌شود:



حلایت این ماده از سولفات باریم بیشتر و در دمای ۲۵°C در حدود ۱۲۹ mg/l در آب خالص است. این رسوب اغلب به تنها یی و یا همراه با سولفات باریم مشاهده می‌شود. قابل ذکر است که غلظت باریم در نمونه‌های گرفته شده بسیار ناچیز و قابل صرف‌نظر بوده است. تشکیل رسوب نتیجه اختلاط زیرزمینی آب‌هاست که در حالت فوق‌اشباعی در محلول سولفات استرانسیم رخ می‌دهد. براساس تحقیقات قبلی، حلایت



شکل ۱ (الف) نمونه رسوب گرفته شده؛ (ب) مقطع عرضی آن و (ج) نمونه پودرشده.



شکل ۲ طیف پراکنش XRD رسوب پس از توپکرانی از محفظه دریافت. (مرجع: آزمایشگاه بینالود (xrd@binaloud.com

1. Pigging

2. X Ray Diffraction

رسوب سولفاتی (meq/l) است. مقدار رسوب سولفات استرانسیم (P) ناشی از اختلاط در دمای  $109^{\circ}\text{C}$  از رابطه ۱ به دست آمد که خلاصه نتایج در جدول ۵ ارایه شده است.

### بررسی تشکیل رسوب سولفات استرانسیم با مدل ژاکس

ژاکس<sup>۱</sup> و همکارانش مدلی را برای پیش‌بینی تشکیل رسوب استرانسیم سولفات ارایه کردند. آنها محلول را ایده‌آل فرض کردند و با استفاده از نتایج تجربی، مشخصه‌های مدل را به دست آوردند. در مطالعه آنها تاثیر سه متغیر دما، فشار و قدرت یونی بر حلالیت استرانسیم سولفات در محلول‌های سنتزی نمک طعام بررسی شد. مطالعات آنها ثابت کرد که حلالیت با افزایش قدرت یونی افزایش و با افزایش دما کاهش می‌یابد (شکل ۳). نتایج این مدل نشان می‌دهند که تغییر فشار psig  $3000 - 100$  باعث تغییرات بسیار جزئی حلالیت سولفات استرانسیم می‌شود. در این پژوهش با استفاده از مدل ژاکس مقدار رسوب محاسبه شد. شرایط موردنظر در مدل ژاکس در جدول ۶ آورده شده‌اند. در رابطه ۲ عبارات حلالیت رسوب  $K_{sp}$  و  $X$  معکوس دمای کلوین و  $R$  از رابطه (۴) به دست می‌آیند:

$$K_{sp} = \frac{X}{R} \quad (2)$$

$$X = \frac{1}{T} \quad (3)$$

$$R = A + BX + C\sqrt{\mu} + D\mu + EP^2 + FXP + G\sqrt{\mu}P \quad (4)$$

مقادیر ثابت در رابطه (۴) به همراه شرایط دمایی و فشار مخزن در جدول ۷ آمده‌اند.

$$\mu = \frac{1}{\mu} \sum m_i z_i^2 \quad (5)$$

$$Q = \frac{Sr(\text{mg/l}) \times SO_4(\text{mg/l})}{87.62} \times 10^{-4} \quad (6)$$

$$1 < \frac{Q}{K_{sp}} \quad (7)$$

رابطه (۵) مقدار قدرت یونی را به دست می‌دهد که

در آن  $\text{mi}$ . مولالیته جزء  $i$  و  $Zi$  بار مربوط به یون  $i$

و مقدار آن برای هر مخلوط متفاوت است (جدول ۸).

با استفاده از این مقادیر، ابتدا مقدار  $R$  و سپس

به دست می‌آید [۲۴].

جدول ۳ آنالیز کیفی و کمی XRD نمونه رسوب.

SO <sub>4</sub> <sup>-2</sup>	CaO	Fe <sub>2</sub> O <sub>3</sub>
% wt	% wt	% wt
۳۸/۶۵	۴۹/۸۵	۳/۸۹
		۲/۴۱

### محاسبه حداقل مقدار رسوب سولفات

روش‌هایی تئوریک برای محاسبه مقدار رسوب در یک سیستم وجود دارند که با استفاده از آنها می‌توان امکان تولید رسوبات را بررسی و بر آن نظارت کرد. یکی از روش‌های تشخیص تشکیل رسوب محاسبه ایندکس رسوبات مختلف است. در این روش آنالیز یونی، به هر کدام از یون‌های مختلف در درصدهای مختلف اختلاط آب‌ها نیاز است [۲۳]. از این رو قبل از تعیین نوع رسوب تشکیل شده، جدولی حاوی مقادیر یون‌ها و روش آنالیز آنها تهیه می‌شود (جدول ۴).

در یک رسوب سولفاتی معادله تعادلی زیر برقرار است:



جدول ۴ مقادیر یون‌های مختلف در آب دریا و آب همراه نفت.

(mg/l) یون	روش استاندارد	آب دریا	آب همراه نفت
Mg <sup>+2</sup>	۳۵۰۰ Mg-B	۱۶۳۲	۹۳۶
Ba <sup>+2</sup>	۳۱۱۱	.	.
Ca <sup>+2</sup>	۳۵۰۰-Ca-B	۴۴۰	۷۴۰۰
Na <sup>+1</sup>	۳۵۰۰ Na-B	۱۲۰۰	۵۲۰۰
Cl <sup>-1</sup>	۴۵۰۰-Cl	۲۱۴۱۰	۸۸۲۵۲
Sr <sup>+2</sup>	۳۱۱۱	.	۱۳۱۱
SO <sub>4</sub> <sup>-2</sup>	۴۵۰۰-SO4	۳۱۱۰	۲۴۲
HCO <sub>3</sub> <sup>-1</sup>	۲۲۲۰ B	۱۶۵/۹	۳۰۰
CO <sub>3</sub> <sup>-2</sup>	۲۲۲۰ B	۲۵	.
T.D.S.	۲۵۴۰ D	۳۳۴۱۰	۱۴۵۴۰

حداکثر مقدار MSO<sub>4</sub> راسب شده بر حسب mg/l با

نشان داده و از رابطه زیر محاسبه می‌شود:

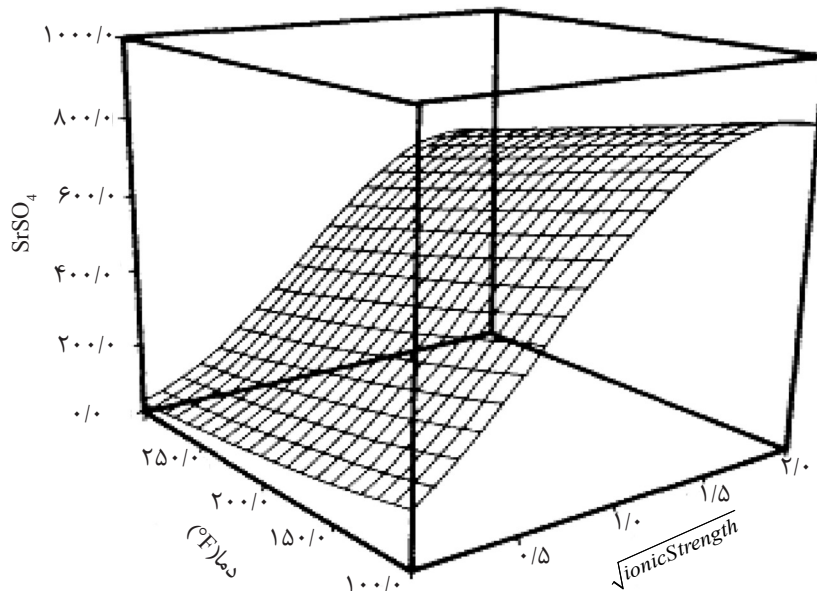
$$P = (\text{eq}_{\text{MSO}_4})(A_{\text{SO}_4} - S_{\text{MSO}_4}) \quad (1)$$

$\text{eq}_{\text{MSO}_4}$ ، وزن اکی والانت رسوب سولفاتی؛  $A_{\text{SO}_4}$ ، غلظت

واقعی سولفاتی در محلول (meq/l) و  $S_{\text{MSO}_4}$ ، حلایق

جدول ۵ پیش‌بینی حداکثر مقدار رسوب  $\text{SrSO}_4$

	واحد/درصد	%۹۰ A	%۷۵ A	%۶۰ A	%۵۰ A	%۴۰ A	%۲۵ A	%۱۰ A
$\text{Sr}^{+2}$	mg/l	۱۲۱	۳۲۸	۵۲۴	۶۵۶	۷۸۷	۹۸۳	۱۱۸۰
$\text{SO}_4^{-2}$	mg/l	۲۸۲۳	۲۳۹۳	۱۹۶۳	۱۶۷۶	۱۳۸۹	۹۵۹	۵۲۹
$A_{\text{SO}_4}$	meq/l	۶۰/۸۲	۵۰/۴۹	۴۲/۸۹	۳۶/۹۲	۳۳/۹۴	۲۴/۹۸	۱۶/۰۲
$[\text{SO}_4^{-2}]$	(mol/l)	۰/۰۲۹۴	۰/۰۲۴۹	۰/۰۲۰۴	۰/۰۱۷۵	۰/۰۱۴۵	۰/۰۱۰۰	۰/۰۰۵۵
$[\text{Sr}^{+2}]$	(mol/l)	۰/۰۰۱۵	۰/۰۰۳۷	۰/۰۰۶۰	۰/۰۰۷۵	۰/۰۰۹۰	۰/۰۱۱۲	۰/۰۱۳۵
S	meq/l	۵۸/۷۱	۴۷/۵۵	۳۹/۴۶	۳۳/۱۱	۲۶/۷۹	۱۷/۴۵	۱۵/۲۸
P	mg/l	۱۹۳/۴۱	۲۶۹/۵۰	۳۱۵/۰۶	۳۴۹/۴۹	۶۵۶/۵۹	۶۹۱/۲۵	۶۷/۶۳



شکل ۳ حلایت سولفات استرانسیم در محلول‌های نمک طعام(محور افقی دما و جذر قدرت یونی- محور عمودی غلظت سولفات استرانسیم) [۲۷].

جدول ۶ شرایط مدل محاسباتی ژاکس.

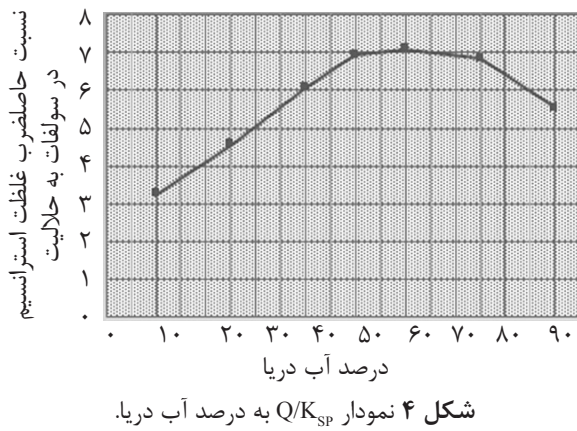
۰ < g/l کلرید سدیم < ۲۰۰
۱۰۰ < °F < ۳۰۰
۱۰۰ < فشار psig < ۳۰۰
۰ < قدرت یونی mol/l < ۳/۴۳

جدول ۷ مقادیر ثابت و دما و فشار مخزن.

A	۰/۰۰۰۲۶۶۴۹۸	D	۰/۰۰۰۵۳۵۴۳	T(°K)	۳۸۲
B	-۰/۲۴۴۸۲۸	E	-۱/۳۸ E-۱۲	P(psig)	۲۰۰۰
C	-۰/۰۰۰۱۹۱۰۷	F	۱/۱۰ E-۰۶	G	-۵/۰۹ E-۱۰

جدول ۸ جدول پیش‌بینی تشکیل رسوب  $\text{SrSO}_4$  با استفاده از مدل ژاکس.

$\text{Sr}^{+2}$	۱۳۷	۲۱۹	۲۷۴	۳۲۸	۴۱۰	۴۹۲	۵۴۷
$\text{SO}_4^{-2}$	۲۴۶۹	۲۰۷۹	۱۸۱۹	۱۵۵۹	۱۱۷۰	۷۸۰	۵۲۰
$\mu$	۰/۹۴۳۷۵	۱/۰۳۴۲	۱/۰۹۴۵	۱/۱۵۴۸	۱/۲۴۵۲۵	۱/۳۳۵۷	۱/۳۹۶
$\sqrt{\mu}$	۰/۹۷۱۴۷	۱/۰۱۶۹۶	۱,۰۴۶۱۸	۱/۰۷۴۶۲	۱/۱۱۵۹۱	۱/۱۵۵۷۲	۱/۱۸۱۵۲
Q	۴/۰۱ E-۰۵	۵/۴۱ E-۰۵	۵/۹۱ E-۰۵	۶/۰۸ E-۰۵	۵/۷۰ E-۰۵	۴/۵۶ E-۰۵	۳/۳۸ E-۰۵
$K_{\text{SP}}$	۷/۲۴ E-۰۶	۷/۹۱ E-۰۶	۸/۳۵ E-۰۶	۸/۷۷ E-۰۶	۹/۳۹ E-۰۶	۹/۹۹ E-۰۶	۱/۰۴ E-۰۵
$Q/K_{\text{SP}}$	۵/۵۴۳	۶/۸۳۴	۷/۰۸۴	۶/۹۳۳	۶/۰۷۲	۴/۵۷۰	۳/۲۶۲
واحد/درصد	% ۹۰ A	% ۷۵ A	% ۶۰ A	% ۵۰ A	% ۴۰ A	% ۲۵ A	% ۱۰ A

شکل ۴ نمودار  $Q/K_{\text{SP}}$  به درصد آب دریا.

دوباره به درون آن تزریق می‌شود، به علت خارج شدن گازها از آب در سر چاه و در نتیجه تغییر pH آب، مشکلاتی در زمینه سازگاری آبها و تشکیل رسوب به وجود آمده در اثر تشکیل رسوب در فرآیند تزریق آب به مخازن نفتی، می‌توان به اهمیت پیش‌بینی این پدیده قبل از طراحی سیستم پی برد. با فهم بهتر اثر مشخصه‌های گوناگون مانند دما و نسبت آب دریا به آب سازنده، طراحی مناسب‌تر برای افزایش بهره‌وری ممکن می‌شود. البته در شرایط دمایی و فشاری اعمال شده در این پژوهش، تغییرات فشار اثری ناچیزی را نشان می‌دهد.

### تشکر و قدردانی

نویسنده‌گان این مقاله از پژوهشکده ازدیاد برداشت از مخازن نفت و گاز برای حمایت مالی و اجازه انتشار

برای تعیین امکان تشکیل رسوب سولفات استرانسیم، با استفاده از معادله ۶ حاصل ضرب نسبت غلظت سولفات در غلظت استرانسیم (Q) به  $K_{\text{SP}}$  به دست آمد که اگر این نسبت بیش از یک می‌شد، پتانسیل تشکیل رسوب وجود داشت. همان‌گونه که از نسبت  $Q/K_{\text{SP}}$  مشخص است، تمام مقادیر بیش از یک هستند که به معنی پیش‌بینی تشکیل رسوب با مدل محاسباتی ژاکس است. در شکل ۴ نمودار حاصل از مدل ژاکس ارائه شده است.

### نتیجه‌گیری

نتایج بررسی‌های سازگاری دو آب در دمای ۱۰۹ درجه سانتی‌گراد به مدت ۳۰ روز نشان دادند که در تمام حالات مخلوط امکان تشکیل رسوب سولفات استرانسیم وجود دارد و با افزایش درصد آب تولیدی در محلول، رسوب سولفات استرانسیم بیشتری دیده می‌شود. بیشترین تشکیل رسوب در نسبت ۶۰ درصد آب دریا به ۴۰ درصد آب تولیدی می‌باشد، که می‌تواند ناشی از افزایش غلظت یون استرانسیم در آب تولیدی و یون سولفات در آب تزریقی و در نتیجه تشکیل رسوب پایدار سولفات استرانسیم باشد. این موضوع با آنالیز رسوبات به روش اسپکتروسکوپی اشعه ایکس تایید شد. مقدار رسوب در فرآیند تزریق آب تابعی از نسبت اختلاط آب‌هاست. تجانس آب تزریقی و آب مخزن مهم است و زمانی که فقط آب تولیدی از مخزن

نتایج این مطالعه قدردانی می‌کنند.

#### ضمیمه

بنابراین مقدار عددی  $K_{sp}$  یک نمک بیان کمی حد انحلال پذیری آن نمک است. چون انحلال پذیری یک نمک معمولاً با تغییر دما بسیار تغییر می‌کند، مقدار عددی  $K_{sp}$  یک نمک نیز با تغییر دما عوض می‌شود. عوامل موثر مهم دیگر بر این ثابت فشار، مقدار شوری و pH هستند. این روش تئوریک بر نتایج تجربی بسیار نزدیکی براساس اندازه‌گیری‌های حلالیت ترمودینامیکی استوار است. اطلاعاتی که باید به دست آورد عبارتند از: غلظت یون‌های  $\text{Na}^+$ ,  $\text{Mg}^{+2}$ ,  $\text{Ca}^{+2}$ ,  $\text{CO}_3^{-2}$ ,  $\text{Cl}^-$  و  $\text{HCO}_3^{-1}$  و  $\text{SO}_4^{-2}$ . همچنین مقدار pH و درجه حرارت [۲۶ و ۲۷]. از بین روش‌های تجربی می‌توان به روش بررسی کمی سازگاری از راه اندازه‌گیری با دستگاه TSS در کدورت‌سنج و آنالیز اندازه‌گیری کل ذرات معلق در آزمایشگاه اشاره کرد. برای تعیین نوع رسوب از روش پراش اشعه ایکس XRD استفاده می‌شود. در روش سازگاری و عدم تجانس کدورت محلول‌ها به شفاف و نیمه‌شفاف و کدر و کاملاً کدر درجه‌بندی می‌شود و با دستگاه کدورت‌سنج مقداری عددی به دست می‌آید.

مدل‌هایی که انحلال مواد معدنی تشکیل دهنده رسوبات معدنی مختلف را مدل‌سازی می‌کنند، قابلیت انحلال پذیری رسوبات در گستره‌ای وسیع از دما، فشار و مقاومت یونی را نیز پیش‌بینی می‌کنند و همین مشخصه شاخصی از تشکیل رسوب در نظر گرفته می‌شود. همچنین معادلات حالت برای در نظر گرفتن رفتار چندفازی، برای محاسبه ویژگی‌های ترمودینامیکی محلول‌های الکترولیتی (محتوی یون‌ها) مناسب نیستند و به یک مدل ترکیبی ترمودینامیکی - تعادلی نیاز است که بتواند pH و پتانسیل تشکیل رسوب را در مخازن پیش‌بینی کند. از طرف دیگر، تحقیقات بنیادی نشان داده‌اند که تشکیل رسوب را می‌توان، جدا از قابلیت انحلال پذیری، بر مبنای فعالیت یون‌های موجود در محلول‌های آبی پیش‌بینی کرد [۲۵]. غلظت‌های یونی در رابطه  $K_{sp}$  غلظت‌های مربوط به یک محلول سیرشده در دمای مرجع هستند.

#### مراجع

- [1]. Yuan M. D. and Todd A. C., "Prediction of sulfates scaling tendency oilfield operation," SPE 18484, 6, pp. 61-63, 1991.
- [2]. Thomsen K., Stenby E. H., "Prediction of mineral scale formation in geothermal and oilfield operation using the extended UNIQUAC model part II: carbonate scaling minerals," Geothermics, 35, p.239, 2006.
- [3]. Shixiang L., "Scaling mechanism and prevention of water injection system in mawangmiao oilfield," Journal of Jianghan Petroleum University of Staff and Workers, 2005-6.
- [4]. Mackay E. J. and Jordan M. M., "Impact of brine flow and mixing in the reservoir on scale control risk assessment and subsurface treatment options: case histories," Journal of Energy Resources Technology, Vol. 127, pp. 201, 2005.
- [5]. Jordan M. M., Kemp S., Sorhaug E., Sjursaether K. and Freer. B., "Effective management of scaling from and within carbonate oil reservoirs, North Sea Basin," Trans. IChemE, Vol. 81, Part A, 2003.
- [6]. Wieclaw D., Rabbani A. R. and Kotarba M. J., "Origin of oils accumulated in mesozoic-cenozoic reservoirs of the Iranian sector of the Persian Gulf," London 2013-75<sup>th</sup> EAGE Conference & Exhibition incorporating SPE

EUROPEC, 2013.

- [7]. Sheikholeslami R. and Ong H. W. K. , "Kinetics and thermodynamics of calcium carbonate and calcium sulfate at salinities up to 1.5 M, *Desalination*," 157., p. 217, Aug. 2003
- [8]. Merdhah A. B. and Yassin A. M., "Formation damage due to scale formation in porous media resulting water injection System," 14, 2008.
- [9]. Mackay E. J., Jordan M. M. and Torabi. F., "Predicting brine mixing deep within the reservoir and its impact on scale control in marginal and deepwater developments," SPE Paper 85104, No. 3, pp. 210-220, 2003.
- [10]. Mohd Yassin A. A., "Solubility of common oil field scales of injection water and high-barium concentration and high-salinity formation water," Journal Teknologi, Vol. 50, pp. 67-77, 2012.
- [11]. Mohd Yassin A. A., "Low-sulfate seawater injection into oil reservoir to avoid scaling problem," Journal of Applied Sciences ,No. 7, pp. 1169-11788, 2008.
- [12]. Mohd Yassin A. A., "Scale formation in oil reservoir during water injection at high-salinity formation water," Journal of Applied Sciences, Vol. 7, No. 21, pp. 3198-3207, 2007.
- [13]. Vetter O. J., Farone W. A., Veith E. and Lankford. S., "Calcium carbonate scale considerations: a practical approach," Engineers Paper SPE 17009, presented at The International 16-17 Symposium, 1987.
- [14]. Safari H., "Prediction of the aqueous solubility of BaSO<sub>4</sub> using pitzer ion interaction model and LSSVM Algorithm," Fluid Phase Equilibria, 374, pp 48-62, 2014.
- [15]. Safari H., "Predicting the solubility of SrSO<sub>4</sub> in Na–Ca–Mg–Sr–Cl–SO<sub>4</sub>–H<sub>2</sub>O system at elevated temperatures and pressures," Fluid Phase Equilibria, Vol. 374, No. 86-101, 2014.
- [16]. Moghadasi J., Jamialahmadi M., Muller-Steinhagen H. and Izadpanah M. R., "Formation damage in Iranian oil fields," SPE 73781, February, 2002.
- [17]. Liu X., Jungang L., Qianya Z., Jinlai F. and Yingli L., "The analysis and prediction of scale accumulation for water-injection pipelines in the daqing oilfield," Journal of Petroleum Science and Engineering, Vol. 66, Issues 3–4, pp. 161–164, June 2009.
- [18]. Bin Merdhah A. B., Yassin A. A. M. and Muherei. M. A., "Laboratory and prediction of barium sulfate scaling at high-barium formation water," Journal of Petroleum Science and Engineering, Vol. 70, Issues 1–2, pp. 79–88 Jan. 2010.
- [19]. Bin Merdhah A. "Inhibition of calcium sulfate and strontium sulfate scale in waterflood," SPE Production & Operations, Vol. 25. Issue 4, pp. 545-552, 2010.
- [20]. Taheri A. and Zahedzadeh M., "Simulation and experimental studies of mineral scale formation effects on performance of sirri-C oil field under water injection," Iran. J. Chem. Chem. Eng, Vol. 30, pp. 10, 2011.
- [21]. Moghadasi J., Jamialahmadi M. and Muller-Steinhagen H., "Scale formation in oil reservoir and production equipment during water injection," SPE 82233, SPE European Formation Damage Conference, 2003.
- [22]. Jordan M. M., Collins R. I. and Mackay. J. E., "Low-sulfate seawater injection for barium sulfate scale control: a life-of-field solution to a complex challenge," SPE 98096, pp. 15-17, Feb, 2006.
- [23]. Zettlitzer M. and Busch M., "Produced water cleaning and re-injection experience- zero discharge to water,"

4<sup>th</sup> International Conference on Produced Water Management, January 2007.

[24]. Jacques D. F. and Bourland. B. I., "A study of solubility of strontium sulfate," Society of Petroleum Engineers Journal, Vol. 23., Issue 02, pp. 292-300, Apr. 1983.

[25]. Jordan M. M. and Mackay J. E., "Integrated field development for effective scale control throughout the water cycle in deep water subsea fields," The SPE Europec /EAGE Annual Conference, SPE 94052, No. 1-9, pp. 13-16 June, 2005.

[26]. Collins R. I. and Jordan M. M., "Occurrence, prediction and prevention of Zinc Sulfide scale within Gulf coast and North Sea high-temperature and high-salinity felds," SPE Production and Facilities, pp. 200-209, August 2003.

[27]. Jacques D. F. and Gollberg J. B., "Strontium sulfate solubility and the effects of scale inhibitors," paper Presented at The NACE Middle East Corrosion Conference 79 Bahrain, April 15-17, 1979.